

Přednáška P a P č.3

Výpočet tenkostěnných nádob s vnitřním přetlakem

Prostý smyk - definice

Hookův zákon pro smyk

Střih materiálů

Krut kruhových průřezů

Návrh torzní tyče

Krut nekruhových průřezů

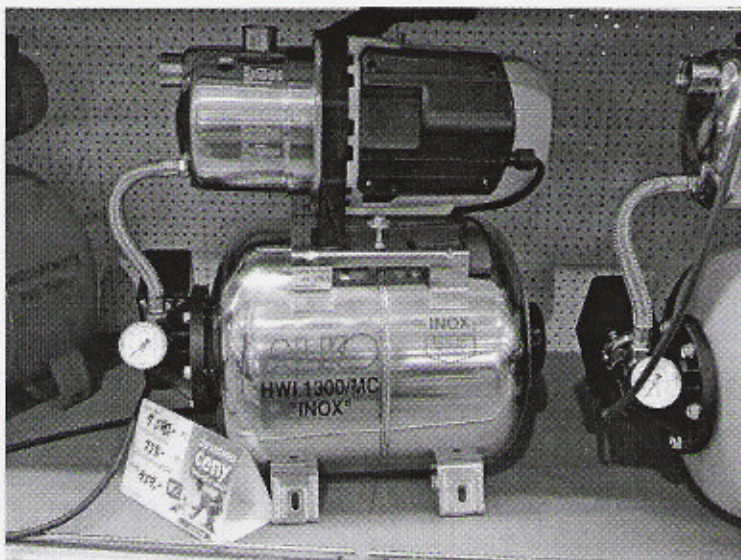
Výpočet tenkostěnných nádob s vnitřním přetlakem



Vzduchový kompresor s tlakovou nádobou



Výpočet tenkostěnných nádob s vnitřním přetlakem



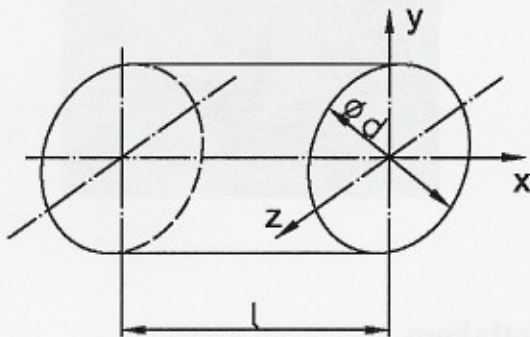
Vodárna s tlakovou nádobou pro H₂O

Tlaková nádoba na plyn

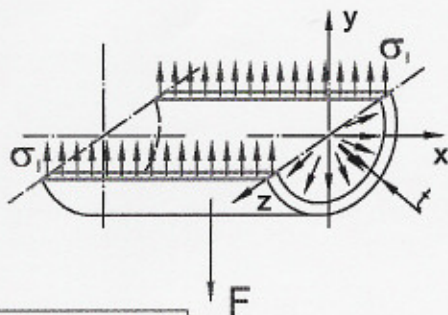


Výpočet tenkostěnných nádob s vnitřním přetlakem

Válcové nebo kulové nádoby $t < D/20$ (D – vnější průměr nádoby,
 t – tloušťka stěny nádoby)



Podélný řez



$$\sigma_y = \frac{d \cdot p}{2t}$$

$$\sigma_y < \sigma_{D,t}$$

$\sigma_{D,t}$ – dovolené napětí v tlaku

$$F_1 = S \cdot p$$

$$S = l \cdot d$$

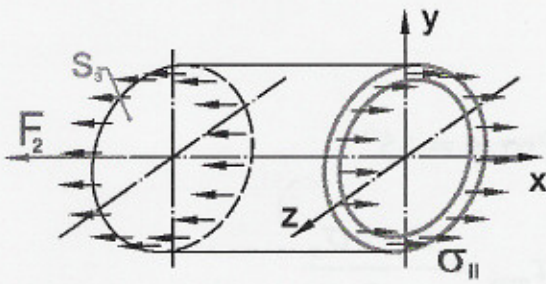
$$\sigma_y = \frac{F_1}{2 S_1}$$

$$S_1 = l \cdot t$$

Tloušťka stěny t

$$t < \frac{d \cdot p}{2 \sigma_{D,t}}$$

Příčný řez



$$F_2 = S_3 \cdot p$$

$$S_3 = \frac{\pi d^2}{4}$$

$$\sigma_x = \frac{F_2}{S_2}$$

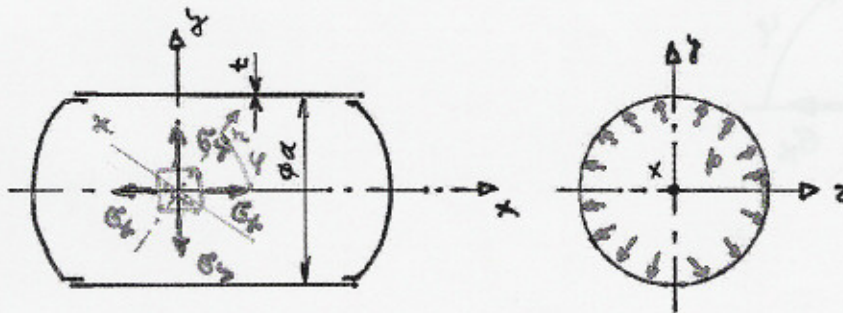
$$S_2 = \pi \cdot d \cdot t$$

$$\sigma_x = \frac{d \cdot p}{4t}$$

$$t < \frac{d \cdot p}{4\sigma_{D,t}}$$

V praxi se k vypočtené hodnotě t přidává ještě určitá hodnota zahrnující vliv koroze, výroby svaru apod.

MKN pro dvouosou napjatost

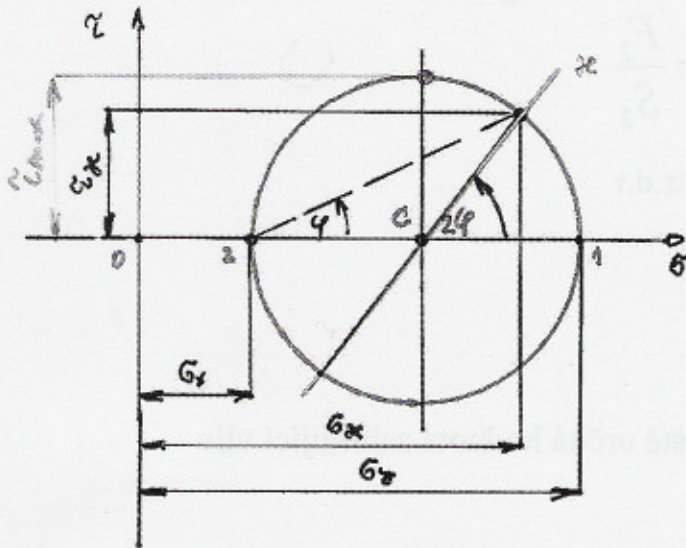


$$\sigma_y = \frac{d \cdot p}{2t} \quad \sigma_x = \frac{d \cdot p}{4t}$$

Normála \underline{n} svírá s osou \underline{x} úhel β

MKN pro elementární hranol je určena body 1,2
 1 $[\sigma_y, 0]$, 2 $[\sigma_x, 0]$

napětí $\sigma_y > \sigma_x$

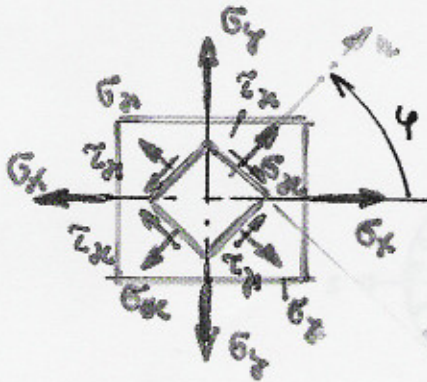


Pro $\varphi = 45^\circ$

$$\tau_{\max} = \frac{\sigma_y + \sigma_x}{2}$$

$$\sigma_y = \frac{d \cdot p}{2t}$$

$$\sigma_{\max} = \sigma_y$$

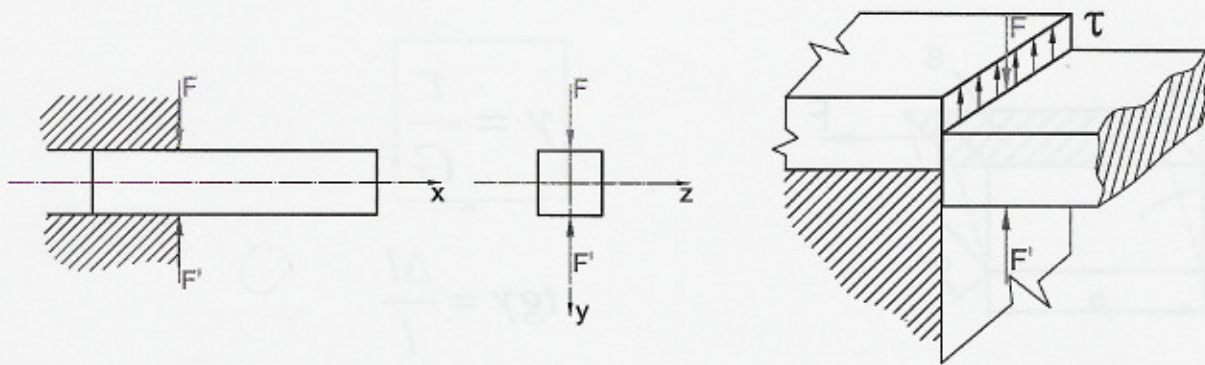


Součet normálových napětí na dvou vzájemně kolmých ploškách je stálý a rovná se součtu hlavních napětí.

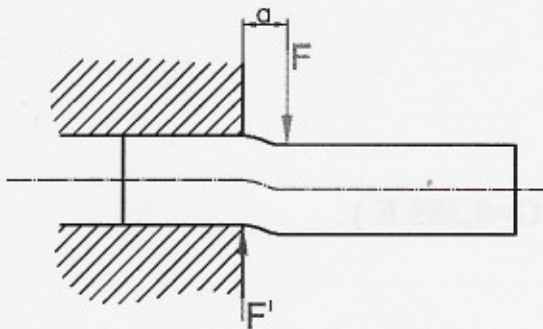
$$\sigma_x + \sigma_y = \sigma_y + \sigma_x$$

Smykové napětí na dvou vzájemně kolmých ploškách se sobě rovnají co do velikosti a jsou opačných znamének

Prostý smyk

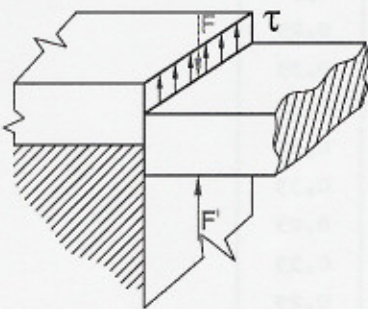


Dvě stejně velké síly opačného smyslu, působící na společné nositelce, procházející těžištěm průřezu a leží v namáhaném průřezu (např. při velmi přesném stříhání vůle cca 0,01 mm)



V obecném případě neleží síly na společné nositelce. Vzniká ještě ohyb ($\tau \gg \sigma \rightarrow \sigma$ zanedbáváme)

Pevnostní podmínka pro smyk



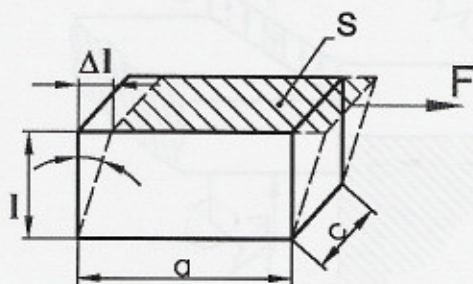
$$\tau_{\max} = \frac{F}{S} \leq \tau_{D,s}$$

$$\tau_{D,s} = (0,8-1) \sigma_{D,t} \text{ (litina)}$$

$$\tau_{D,s} = (0,6-0,7) \sigma_{D,t} \text{ (ocel)}$$

Za předpokladu, že tečná napětí jsou po celém průřezu rovnoměrně rozložena platí pevnostní podmínka pro smyk

Hookeův zákon pro smyk



$$\gamma = \frac{\tau}{G}$$

$$\operatorname{tg} \gamma = \frac{\Delta l}{l}$$

Kde: γ -zkos (1)

G-modul pružnosti ve smyku(MPa)

τ - tečné napětí (MPa)

pro malé úhly je přibližně $\gamma = \operatorname{tg} \gamma$

Výpočet modulu pružnosti ve smyku

Existuje závislost mezi E, G, μ

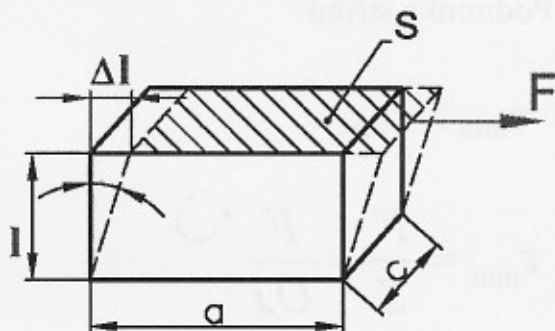
$$G = \frac{E}{2(1 + \mu)}$$

pro ocel ($\mu=0,3$ $G=0,385 E$)

Tabulka modulů pružnosti v tahu , smyku, poissonovy konstanty pro vybrané materiály

Druh materiálu	E (MPa)	G (MPa)	μ
Ocel	210 000	81 000	0,30
Šedá litina	110 000	43 000	0,25
Měď	120 000	44 000	0,35
Bronz	110 000	42 000	0,35
Mosaz	95 000	35 000	0,35
Hliník a jeho slitiny	70 000	27 000	0,33
Sklo	60 000	24 000	0,23
Polymethylmetakrylát	3 700	1 400	0,33
Bakelit	50 000	20 000	0,25
Celuloid	4 000	1 500	0,35
Průž	2 až 8	0,7 až 2,5	0,49
Dřevo / ve směru vláken /	12 000	5 000	-
/ napříč vláken /	2 700	-	-
Organické sklo /plexi/	2 100	800	0,35
Beton	18 000	8 000	0,13

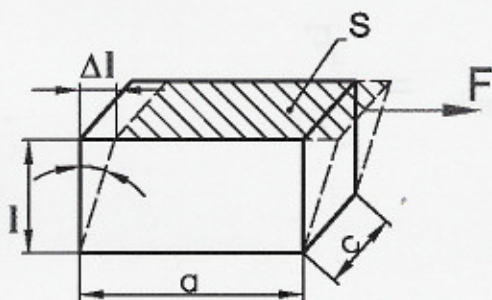
deformace Δl při smyku se vypočte z Hookeova zákona



$$\Delta l = \frac{F.l}{G.S}$$

(G.S) – tuhost ve smyku

Deformační práce potřebná k posuvu vrstvy ve vzdálenosti l o Δl



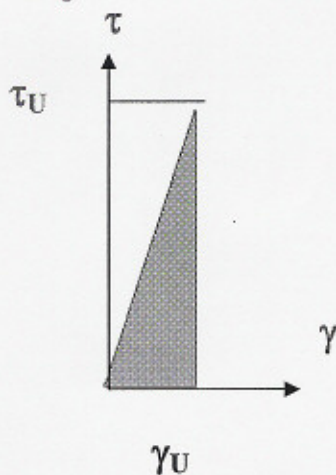
$$A_{\text{def}} = 0,5 F \cdot \Delta l$$

Deformační práce A_{def} se rovná deformační energii získané tělesem U

$$U = A_{\text{def}}$$

$$V = S \cdot l \text{ (objem vrstvy)}$$

Objemová hustota energie napjatosti

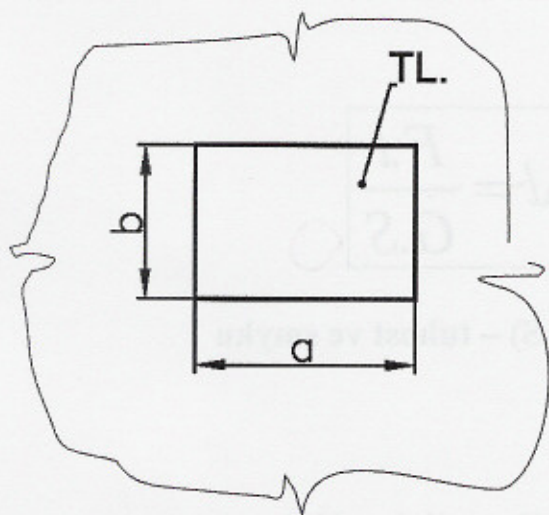


$$w = \frac{U}{V}$$

$$w = \frac{1}{2} \cdot \tau \cdot \gamma$$

$$w = \frac{\tau^2}{2G}$$

Střihání materiálu



Podmínka střihu

$$\tau_{\min} > \tau_{P,s}$$

$$\tau_{\min} = \frac{F}{S} = \frac{F}{O \cdot t}$$

$$\tau_{\min} = \frac{F}{O \cdot t}$$

kde: O - obvod střihu (m)

t - tloušťka plechu (m)

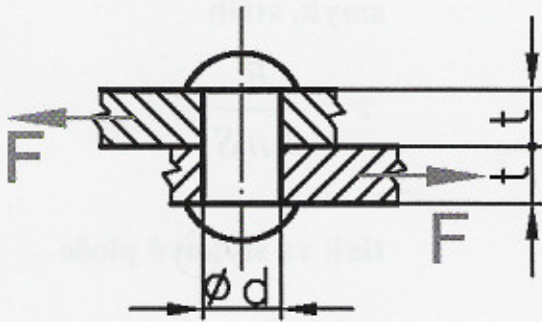
$\tau_{P,s}$ - mez pevnosti ve střihu (MPa)

$$\tau_{P,s} = 0,6 \sigma_{P,t}$$

$$O = 2(a+b)$$

$$S = O \cdot t$$

Jednostřížný nýt – výpočet



Tlak ve stykové ploše

$$p = \frac{F}{n \cdot d \cdot t} \leq p_d$$

Střih (smyk)

$$\tau = \frac{F}{n \cdot S} \leq \tau_{D,s}$$

Kde: F – zatěžující síla (N)

S – plocha průřezu nýtu (m^2)

n – počet nýtů (1)

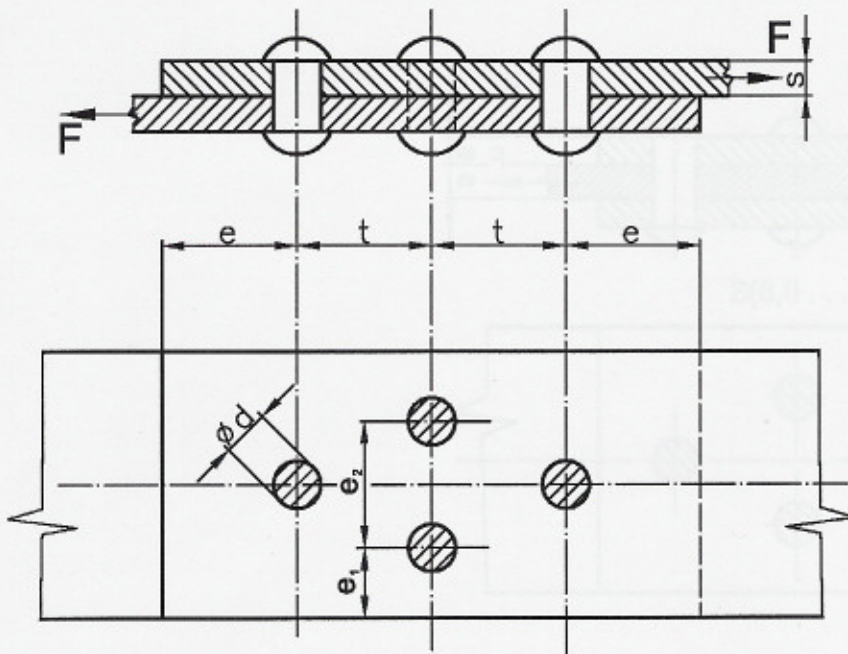
t – tloušťka plechu (m)

$\tau_{D,s}$ – dovolené napětí ve smyku

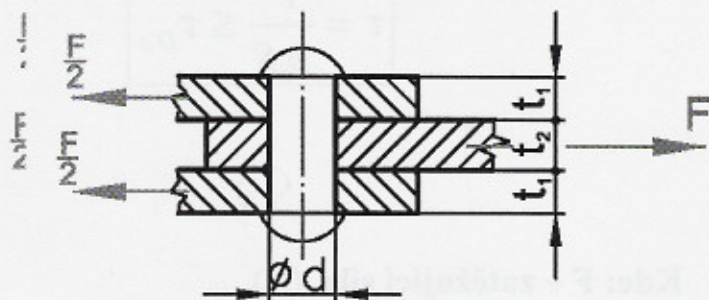
(MPa)

p_d – dovolené napětí v tlaku (MPa)

Jednostřížný nýt – příklad konstrukčního řešení



Dvojstřížný nýt – výpočet



smyk, stříh

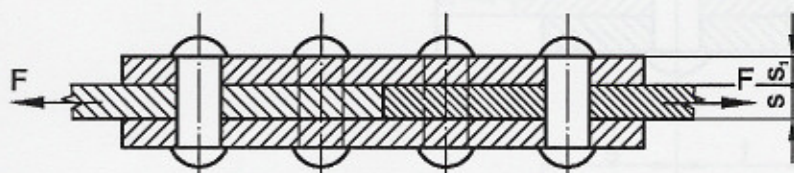
$$\tau = \frac{F}{2 \cdot n \cdot S} \leq \tau_{D,s}$$

tlak ve stykové ploše

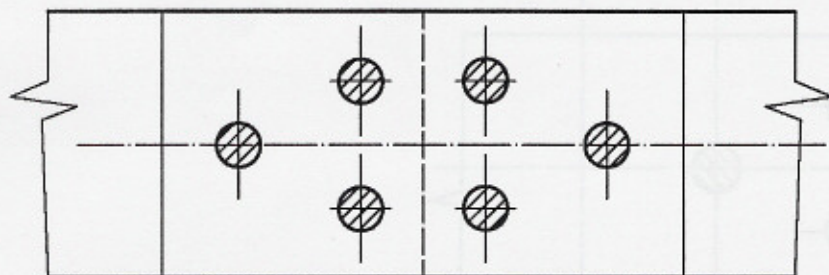
$$p = \frac{F}{n \cdot d \cdot t_2} \leq p_d$$

- Kde: F – zatěžující síla (N)
 S – plocha průřezu nýtu (m²)
 n – počet nýtů (1)
 t – tloušťka plechu (m)
 $\tau_{D,s}$ – dovolené napětí ve smyku (MPa)
 p_d – dovolené napětí v tlaku (MPa)

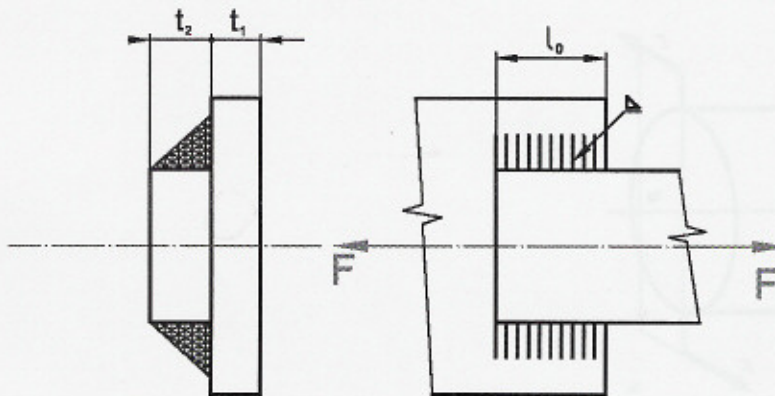
Dvojstřížný nýt – příklad konstrukčního řešení



$$S_1 = (0,7 \dots 0,8)S$$



Pevnostní výpočet koutového svaru



$$\tau = \frac{F}{2.0,7 \cdot t_2 \cdot l} \leq \tau_{D,s}$$

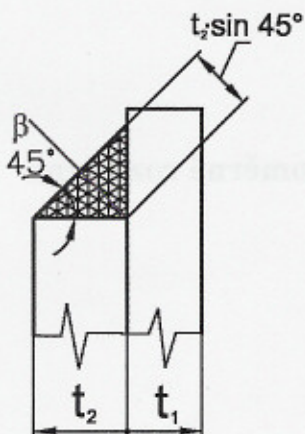
kde: l - skutečná délka svaru (m)

$$l = l_0 - 1,5 t_2$$

l_0 - teoretická délka svaru (m)

$\tau_{D,s}$ - dovolené napětí ve smyku svaru (MPa)

Pevnostní výpočet koutového svaru



$$\tau = \frac{F}{2.0,7 \cdot t_2 \cdot l} \leq \tau_{D,s}$$

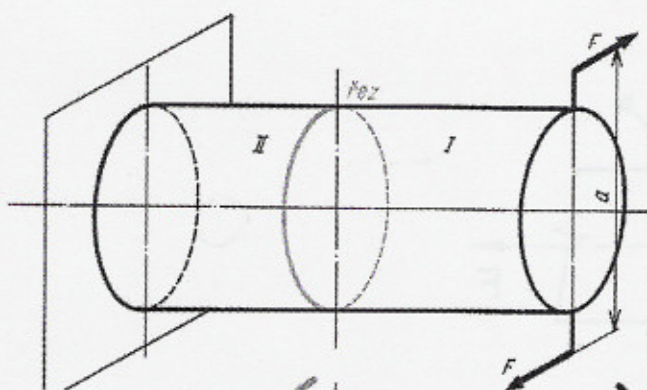
$$\sin 45^\circ = 0,707$$

pro svařovanou ocel 11 523 je např. vhodná elektroda E 52.33

$$\sigma_{D,t,sv} = (0,85-1)\sigma_{D,t} \quad (\text{pro výpočet tupého svaru - tah})$$

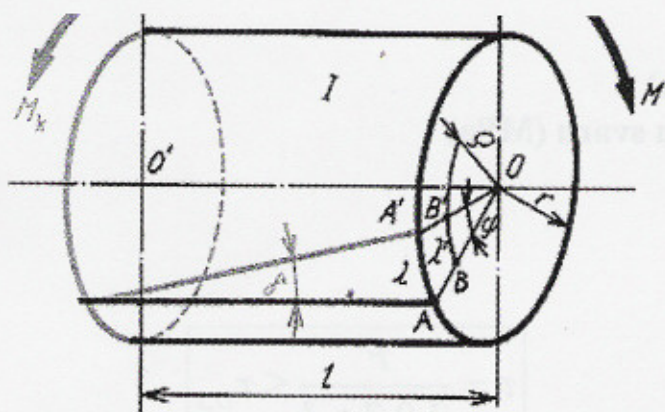
$$\tau_{D,s,sv} = 0,65 \sigma_{D,t} \quad (\text{pro koutový svar})$$

Krut součástí kruhových průřezů

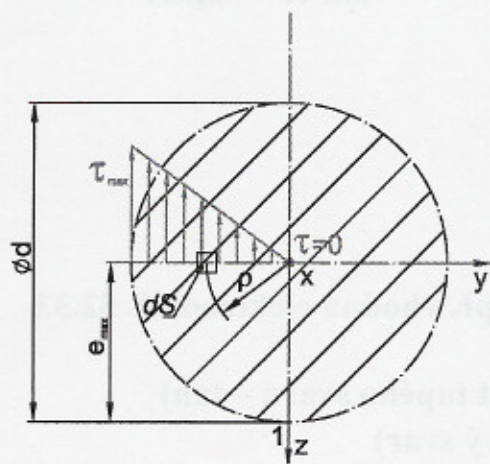


Těleso je vlevo vetknuto a na druhém konci zatíženo silovou dvojicí $M = F \cdot a$ ležící v rovině kolmé k ose

Oddělená část I tělesa – v rovnováze za působení M a M_k



V rovině řezu vznikají tečná napětí τ , která nejsou rovnoměrně rozložena



Pevnostní podmínka pro krut

$$\tau_{\max} = \frac{M_k}{W_k} \leq \tau_{D,k}$$

kde: W_k - průřezový modul v krutu (m^3)

$$W_k = \frac{I_p}{e_{\max}}$$

I_p - polární moment setrvačnosti (m^4)

e_{\max} - vzdálenost od střednice k nejvzdálenějšímu vláknu (m)

$\tau_{D,k}$ - dovolené napětí v krutu (MPa)

Pro: ocel $\tau_{D,k} = \tau_{D,s} = (0,5-0,6) \sigma_{D,t}$
šedá litina $\tau_{D,k} = \sigma_{D,t}$

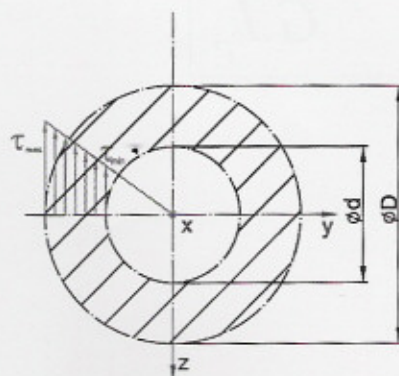
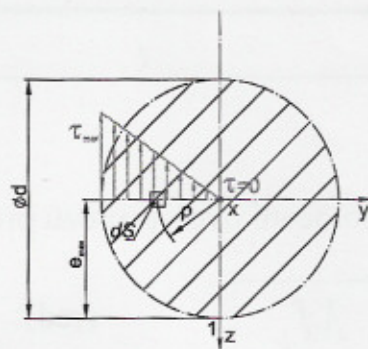
Výpočet průřezového modulu v krutu

kruhový průřez

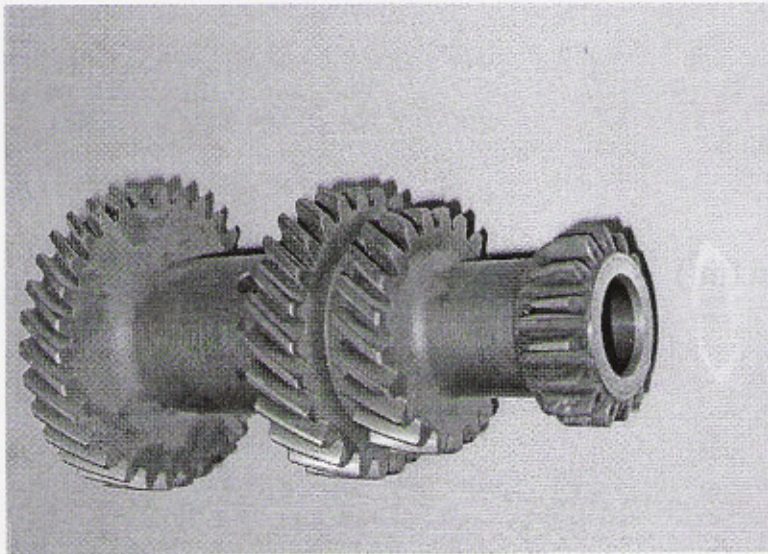
$$W_k = \frac{\pi d^3}{16} \cong 0,2d^3$$

mezikruhový průřez

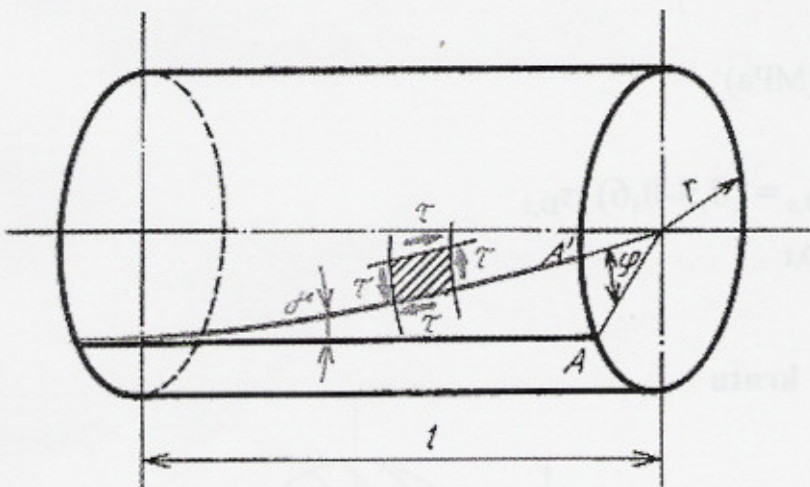
$$W_k = \frac{\pi}{16} \frac{D^4 - d^4}{D} \cong 0,2 \frac{D^4 - d^4}{D}$$



Příklad konstrukčního řešení hřídele s ozubenými koly



Výpočet úhlu pootočení dvou průřezů



Úhel pootočení dvou průřezů pro $l = 1 \text{ m}$

$$\varphi = \frac{M_k}{G \cdot I_p} \quad (\text{rad})$$

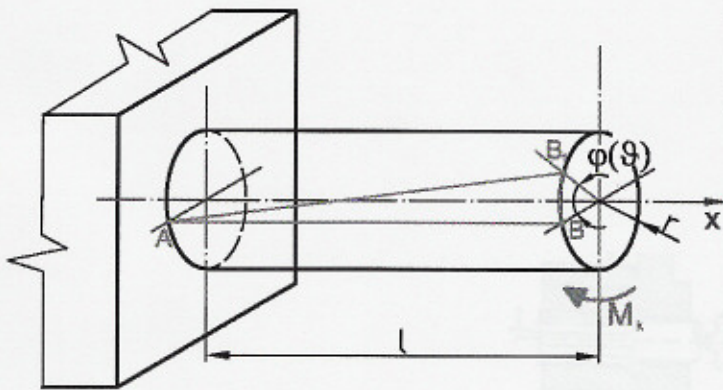
Tuhostní podmínka pro krut

$$\vartheta^{\circ} = \frac{180}{\pi} \frac{M_k}{G \cdot I_p} \leq \vartheta_{Dov}^{\circ}$$

ϑ_{dov} – dovolený zkrut (na 1 m délky hřídele podle ÈSN)
ocelový hřídel:

pro: $M_k = \text{konst}$	$\vartheta_{dov, I} = 0,3^{\circ} \text{ m}^{-1}$
$M_k \neq \text{konst}$	$\vartheta_{dov, II} = 0,25^{\circ} \text{ m}^{-1}$
M_k – s rázy	$\vartheta_{dov, III} = 0,15^{\circ} \text{ m}^{-1}$

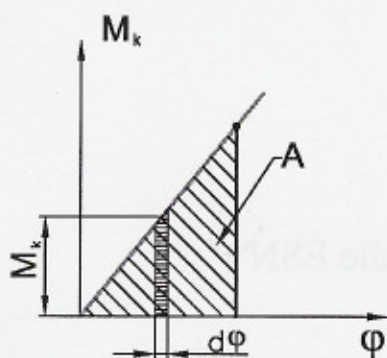
Výpočet úhlu zkroucení ϑ° hřídele délky l , vlivem M_k



$$\vartheta^{\circ} = \frac{180}{\pi} \frac{M_k \cdot l}{G \cdot I_p} \quad (^\circ)$$

Kde: G – modul pružnosti ve smyku (MPa)
 J_p – polární moment setrvačnosti (m^4)
 M_k – kroučící moment (Nm)
 l – délka tyče (m)

Energie napjatosti při krutu



$$A = \frac{1}{2} M_k \varphi$$

$$\varphi = \frac{M_k l}{GJ_p}$$

Objemová hustota deformační energie

$w \neq konst$ (není rovnoměrně v tělese rozložena)

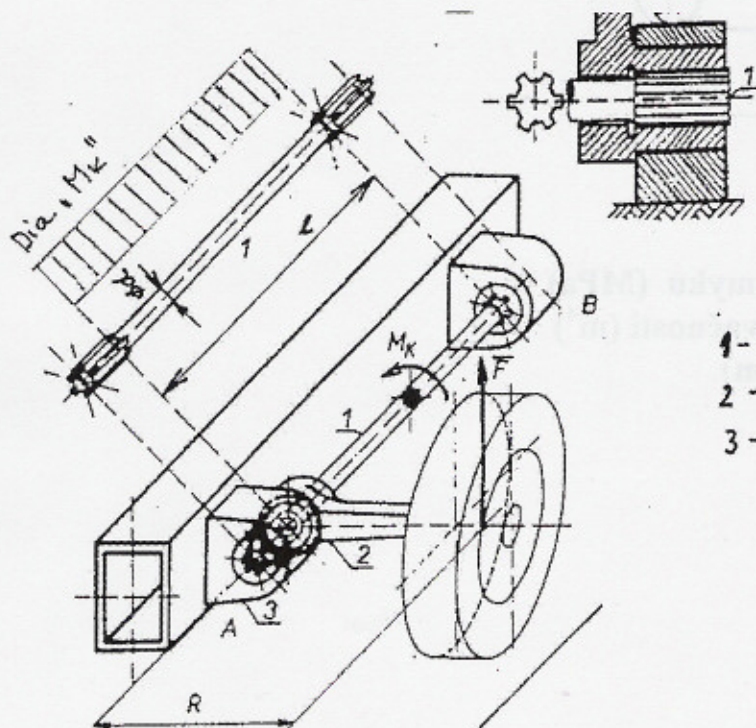
$$w = \frac{A}{V}$$

$$w = \frac{1}{4} \frac{\tau_k^2}{G} \quad (\text{J.m}^{-3})$$

Návrh výpočtu torzní tyče

Dáno: $F, R, G, \tau_{D,k}, v_{dov}$

Určit: $\varnothing d, l$



- 1 - Torzní tyč
- 2 - Rameno
- 3 - Ložisko

Výpočet

$$M_k = F \cdot R$$

$$M_{k,\max} = 1,6 M_k \quad (\text{dynamické zatížení s rázy})$$

$$\frac{M_k}{W_k} \leq \tau_{D,k}$$

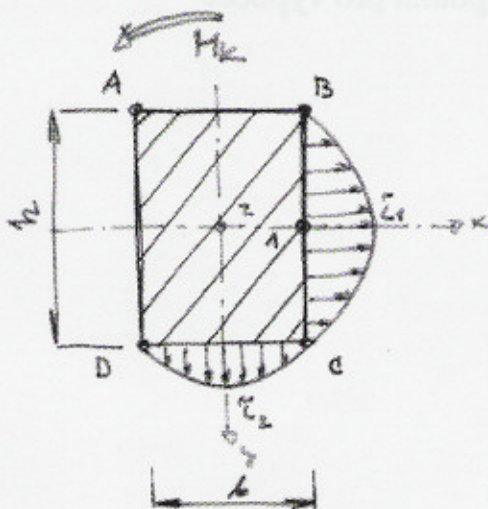
$$\varphi_{\text{dov}} = \frac{M_k \cdot l}{G \cdot I_p} \quad (\text{rad})$$

Torzní tyč má až 4x lepší využití materiálu než pružina ohýbaná. Pro torzní i šroubové pružiny volíme kvalitní materiál s vysokou hodnotou meze kluzu

$$W = \frac{1}{4} \frac{\tau_k^2}{G}$$

Krut součástí nekruhových průřezů

Obdélníkový průřez



$$\tau_{\max} = \tau_1 = \frac{M_k}{W_k} \leq \tau_{D,k}$$

kde: $W_k = \alpha \cdot b^2 \cdot h$

α - bezrozměrný součinitel

$\alpha = f \cdot c$ ($m = h/b$ - viz tab.)

Uprostřed kratší strany obdélníka je napětí

$$\tau_2 = \gamma \tau_1$$

kde: γ - bezrozměrný součinitel (viz tab.)

Napětí ve vrcholech obdélníka a ve střednici je nulové

Úhel vzájemného pootočení dvou průřezů vzdálených od sebe o délku l

$$\varphi = \frac{M_k l}{GJ_k} \quad (\text{rad})$$

kde: J_k - moment tuhosti v kroucení

$$J_k = \beta \cdot b^3 \cdot h \quad (\text{m}^4)$$

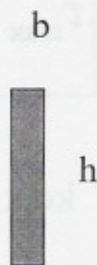
β - bezrozměrný součinitel vis tab.

	1	1,2	2	3	5	10	$\square \ddagger$
α	0,208	0,219	0,246	0,267	0,292	0,312	0,333
β	0,14	0,166	0,229	0,263	0,291	0,31	0,333
γ	1,0	0,933	0,793	0,754	0,743	0,743	0,742

V praxi lze pro úzké obdélníkové průřezy ($b \ll h$) použít pro výpočet zjednodušené vztahy

$$W_k = \frac{1}{3} b^2 h$$

$$J_k = \beta b^3 h$$



$$\tau_{\max} = \frac{M_k}{W_k} \leq \tau_{D,k}$$

Pevnostní podmínka

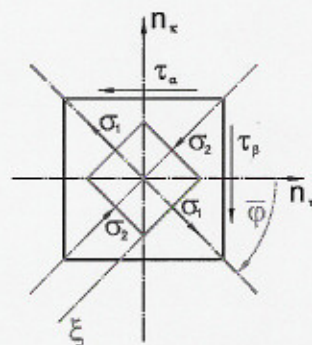
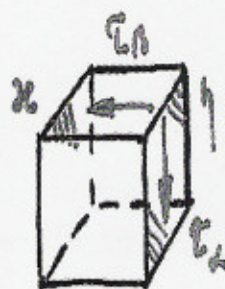
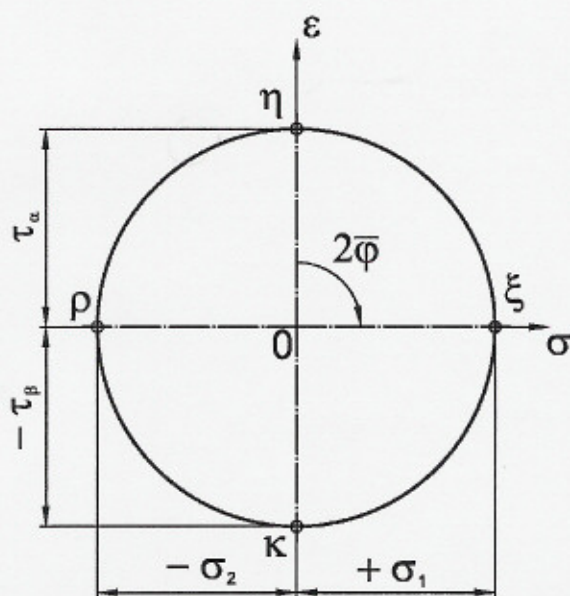
$$\varphi = \frac{M_k l}{GJ_k}$$

Úhel pootočení dvou průřezů vzdálených o délku l

V praxi se krutu nekruhových průřezů pokud možno vyhýbáme!

Krut – rovinná napjatost

MKN-prostý smyk (hřídel namáhaná prostým krutem)



Body ρ, ξ - udávají hodnoty hlavních napětí σ_1, σ_2

$$|+\sigma| = |-\sigma| = |+\tau| = |-\tau|$$